

Al-Sec-Butoxide 의 가수분해시에 있어서 α -Al₂O₃종의 동시첨가에 의한 열적 전이거동

김창은·이해욱·최진관·김배연*

연세대학교 공과대학 요업공학과

*인천대학교 공과대학 재료공학과

(1990년 3월 29일 접수)

The Thermal Behavior of Transformation by Simultaneous α -Al₂O₃ Seed Addition on the Al-Sec-Butoxide Hydrolysis

Chang - Eun Kim, Hae - Wook Lee, Jin - Kwan Choi and Bae - Yun Kim*

Dept. of Ceramic Eng., College of Engineering, Yonsei University

*Dept. of Materials Eng., College of Engineering, Incheon University

(Received March 29, 1990)

요 약

Al-sec-butoxide 를 가수분해함에 있어서 α -Al₂O₃종을 물과 함께 동시 첨가하여 가수분해 형성하고, 그 α -Al₂O₃종 첨가에 의한 열적 전이거동 및 분말특성에 관하여 연구하였다. α -Al₂O₃종 입자는 $\theta \rightarrow \alpha$ -Al₂O₃ 전이에서 핵으로 활동하여 전이속도를 증가시키고 약 143°C 정도의 전이온도를 낮추었다. 특히 가수분해시 α -Al₂O₃종을 동시 첨가함으로써 균일한 분산효과와 더불어 α -Al₂O₃종 입자표면의 핵생성 자리 제공으로 0.1wt%의 파종만으로도 전이온도가 115°C나 감소하였고, 3wt% α -Al₂O₃종을 첨가한 경우에는 950°C에서 100분간의 열처리로 α -Al₂O₃ 단일상을 제조할 수 있었으며, 이때 vermicular 구조 성장의 억제 등으로 α -Al₂O₃종을 첨가하지 않았을 때의 α -Al₂O₃ 비표면적 값 15.1m²/g에 비하여 11.9m²/g으로 낮아졌다.

ABSTRACT

The thermal behavior of transformation and characteristics of seeded sample powders prepared by simultaneous α -Al₂O₃ seed addition with water on the Al-sec-butoxide hydrolysis were studied. α -Al₂O₃ seed particles are shown to act as nuclei for transformation of θ to α -Al₂O₃ and to result in an increase in the transformation kinetics and lowering of the transformation temperature by as much as 143°C. Simultaneous seed addition on the hydrolysis resulted in uniform dispersion and creation of nucleation site on seed surface and only 0.1wt% seeding lowered the transformation temperature by as much as 115°C. For 3wt% seed addition, α -Al₂O₃ single phase was obtained at 950°C for 100 minutes and the specific surface area of products were lowered to 11.9m²/g as compared with that of α -Al₂O₃ powder prepared without seed at 1150°C, 15.1m²/g due to depression of vermicular structure growth.

1. 서 론

일반적으로 Al₂O₃, TiO₂, ZrO₂ 등의 세라믹스 재료는 여러 종류의 동질이 형을 가지고 있으며, 이러한 동질이 형 전이는 건이에 필요한 원자 재배열 정도에 따라 치환 형과 재조직형으로 나눌 수 있다¹⁾ 특히 Al₂O₃나 TiO₂ 등의 전이는 재조직형 전이에 의해 지배되며, 이러한 재조직형 전이는 핵생성과 성장 과정으로 전이하미 높은 활성화 에너지를 갖는다 Rao²⁾ 등에 의하면 이러한 전이 활성화 에너지의 대부분은 핵생성 과정에 이용된다고 보고한 바 있으며, 이 핵생성을 위한 높은 활성화 에너지 장벽을 극복하기 위하여서는 고온이 요구되고 있다. 그런데 최근에 알루미나에 있어서 θ -상에서 α -Al₂O₃로의 동질이형 전이는 핵생성화, 즉 γ -혹은 α -Al₂O₃인자를 과중함으로써 전이를 조절할 수 있다고 보고되었다^{3,4)}. 또한 많은 연구자들⁵⁻⁷⁾이 첨가제를 사용하여 α -Al₂O₃전이에 미치는 영향에 대하여 연구하고 있으며, Messing⁸⁻¹⁰⁾ 등은 상업용 boehmite 분말로 부터 출발한 boehmite 슬-겔에 α -Al₂O₃와 기타 일련의 종(seed)을 첨가하여 전이의 핵생성 에너지를 낮추어 전이온도를 거하시키고 vermicular 구조를 제거시킴으로써 저온에서 α -Al₂O₃의 제조를 가능하게 하였다.

그러므로 본 연구에서는 최근 광범위하게 연구가 진행되어 오고있는 슬겔법을 이용하여 고순도 알루미나를 제조함에 있어서 Al-sec-butoxide 의 가수분해시에 Yoldas의 방법으로 자체 생성한 미세한 α -Al₂O₃종을 가수분해시에 동시 첨가하여 합성한 과중시료들과 α -Al₂O₃의 종을 첨가하지 않은 경우에 있어서 α -Al₂O₃종 첨가에 따른 전이거동, 상대전이도 및 합성분말의 특성에 관하여 비교, 고찰하였다.

2. 실험방법

2.1. 알루미나 분말합성

알루미나 분말의 합성은 Yoldas¹¹⁻¹³⁾의 방법에 따랐다. 1몰의 Al-sec-butoxide(Aldrich Chemical Co.)와 2몰의 이소프로판올 (Tedia, Co.)을 혼합하여 반응용기에 넣고 90°C에서 과량의 증류수 100몰을 천천히 첨가하여 가수분해하였다. 약 30분 정도 교반해 주면서 촉매로 0.07몰의 HCl를 첨가하고 계속적으로 충분히 교반시키 투명한 졸을 생성하였다. 이 투명한 졸을 겔화, 건조시킨 다음 각

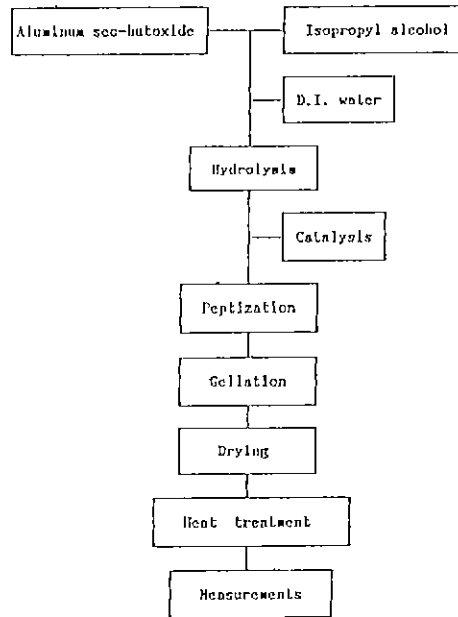


Fig. 1. Flow chart of the forming alumina powder by Yoldas method.

온도에서 1시간 동안 열처리하여 X-선 회절분석으로 상변화를 관찰하였다 이러한 실험과정에 대한 공정도는 Fig. 1과 같다.

2.2. α -Al₂O₃종의 준비

2.1.의 방법에 의하여 생성한 α -Al₂O₃ 단일상 분말을 이차 증류수에 첨가하여 교반해 주었다. 교반 중에 입자들의 분산효과를 극대화하기 위하여 분산제로 HCl을 첨가하여 pH를 3으로 조절하였다. 이 용액을 초음파 처리하여 입자들을 제분산시키고, 잠시 동안 방치시킨 다음 바닥에 가라앉은 커다란 입자나 응집체 등을 제거하여 미세한 α -Al₂O₃ 입자만이 분산되도록 하였다. 이러한 과정을 거쳐 생성된 α -Al₂O₃종의 입자크기 및 입도분포를 측정하였고, Fig. 2는 이러한 미세한 α -Al₂O₃종을 얻기 위한 공정도이다.

2.3. α -Al₂O₃ 과중

이러한 공정을 거쳐 생성된 미세한 α -Al₂O₃종을 가수분해수에 분산시켜 100몰이 되도록 한 혼합용액으로 Al-sec-butoxide를 가수분해 하였으며, 이후의 과정은 (1)의 알루미나 분말의 제조공정과 같은 방법으로 진행되었다. 이때 α -Al₂O₃종의 첨가량은 알루미나에 대하여 α -Al₂O₃ 입자의 중량비(wt%, 건조중량 기준)로 0.1wt%부터 5

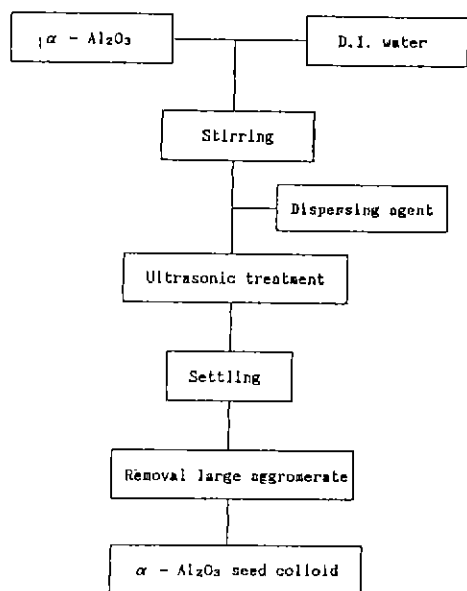


Fig.2. Flow chart of the forming α -Al₂O₃ seed colloid.

wt%까지 파종하였다.

2.4. 합성분말의 특성

이러한 방법으로 합성된 파종시료들과 α -Al₂O₃종을 첨가하지 않은 시료에 대하여 전이거동 상대 전이도 및 분말특성을 고찰하기 위하여 X-선 회절분석, 시차열분석, FT-IR 분석, 비표면적 측정, 전자 현미경 관찰 등으로 비교, 고찰하였다.

3. 결과 및 고찰

3.1. α -Al₂O₃의 제조

Fig. 3은 α -Al₂O₃상을 얻기 위하여 Yoldas¹¹⁻¹³⁾의 방법에 의하여 알루미나이드로부터 합성된 분말을 각 온도에서 1시간 동안 열처리하여 제조된 분말들의 X-선 회절분석 결과이다.

일반적으로 boehmite(γ -AlOOH)는 열처리 온도가 증가함에 따라 다음과 같이 전이된다¹⁴⁾.

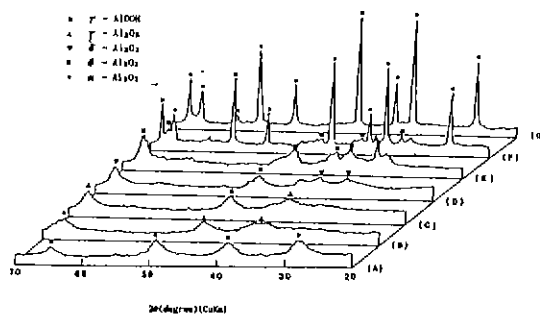
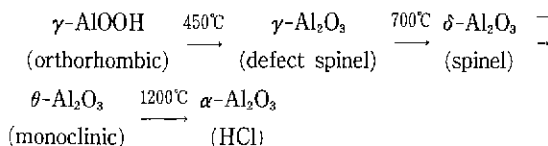


Fig.3. X-ray diffraction patterns of the powder, heat treated for 1 hour at (A) 90, (B) 500, (C) 800, (D) 950, (e) 1050, (f) 1100, (g) 1150°C.

그러나 이러한 전이는 기공의 발전^{15,16)}, 기계적 및 구조적인 면¹⁷⁻¹⁹⁾, 시간과 온도의 의존성^{7,20-21)} 등의 관점에서 광범위하게 특성지어진다.

Yoldas의 방법에 의하여 Al-sec-butoxide를 가수분해하여 합성한 본 연구에서는 열처리 온도의 상승에 따라 90°C에서 boehmite 상, 500°C에서 800°C 사이에서 γ -Al₂O₃상이 존재하고, 950°C 부근의 온도에서 δ -Al₂O₃상과 1050°C에서 θ -Al₂O₃상이 나타났다. 1100°C에서 θ -Al₂O₃상과 α -Al₂O₃상이 공존하다가 1150°C에서 α -Al₂O₃ 단일상으로 완전히 전이하였다. 즉 Yoldas의 방법으로 합성한 분말은 일반적인 boehmite의 결정구조 전이와 비슷한 경향으로 상전이하고 있으며 본 연구에서 종으로서 사용하려는 α -Al₂O₃ 단일상은 1150°C에서 1시간의 열처리로 얻을 수 있었다. 이러한 전이는 알루미나이드의 가수분해 조건, 건조 조건 및 열처리 조건 등에 의해 민감하게 특징지어졌다^{11,22-24)}.

3.2. α -Al₂O₃종의 입도분포

1150°C에서 열처리하여 얻어진 미세한 α -Al₂O₃ 분말은

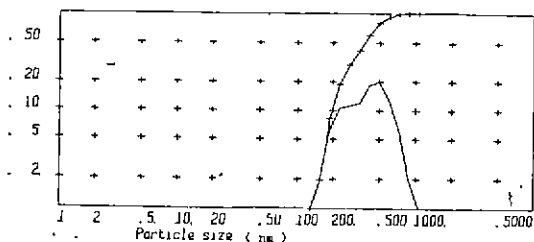


Fig.4. Particle size distributions of α -alumina seed particles.

pH3으로 분산, 초음파 처리후 큰 입자들이나 응집체 등의 제거로 Fig.4에서와 같이 α -Al₂O₃종 입자들의 누적분포가 매우 한정된 분포를 가지고 있음을 볼 수 있다. 이러한 α -Al₂O₃종의 평균 입자크기는 0.27 μ m의 미세한 입자들로 이루어져 있다. 어떠한 물질이 결정상의 전이에 있어서 핵생성 자리로 작용하여 파종 효과를 나타내기 위하여서는 많은 수의 종(seed)이 기지(matrix)내에 균일하게 혼합되어야 하는데, 본 연구에서 합성되어 사용되는 α -Al₂O₃종은 대단히 미세하고 그 입도분포가 매우 한정되었기 때문에 파종 효과를 충분히 나타낼 것이라 기대되어진다.

3.3. α -Al₂O₃ 파종 효과

Fig.5는 α -Al₂O₃종을 첨가하지 않은 경우와 각 α -Al₂O₃ O₃종을 첨가한 경우의 시료를 10°C/min의 승온속도로 1200°C까지 가열하여 측정된 DTA 곡선이다. DTA는 상 전이에 있어서 파종 효과를 측정하는 데 유효한 방법을 제시해주고 있으며, θ -상에서 α -상으로의 전이와 관련된 발열 피이크만이 파종에 영향을 받고 있음을 알 수 있다. 즉 α -Al₂O₃종을 첨가하지 않은 경우(a)에 있어서는 θ -상에서 α -상으로의 전이가 1155°C에서 일어나는 반면에, α -

-Al₂O₃종 첨가량이 0.1, 0.5, 1, 2, 3, 5wt%로 증가함에 따라 전이온도가 각각 1040°C, 1032°C, 1028°C, 1023°C, 1013°C, 1012°C로 크게 감소하고 있다. α -상으로의 전이온도 뿐만 아니라 α -Al₂O₃종 첨가량의 증가에 따라 피이크의 모양도 더욱 날카롭게 나타나고 있는데, 이것은 α -Al₂O₃종의 첨가량이 증가함에 따라 θ -상 기지내에 핵생성 빈도수가 증가하게 되어 α -상으로 전이함에 있어서 각 α -Al₂O₃종이 전이에 핵으로서 일시에 참여하게 되므로 더욱 빠른 시간에 전이하고 있음을 보여주고 있다.

Fig.6은 DTA 결과에서 나타난 α -상으로의 전이온도를 α -Al₂O₃종 첨가량의 함수로 나타낸 것이다. 0.1wt%의 파종으로 전이온도가 급격히 저하하고 있으며, α -Al₂O₃종 첨가량이 더욱 증가함에 따라 계속적으로 저하하다가 3wt% 이상에서는 거의 저하하지 않고 있다. 이것은 반응 결정인 θ -Al₂O₃ 기지내에서 온도의 상승에 따라서 생성결정, 즉 α -Al₂O₃의 핵이 형성되고 이 핵의 결정학적 방향에 따라서 산화물의 양이온 확산이 화학적으로 상호교환함으로써 결정이 성장하는 topotactic 전이로서²³⁾, 이러한 전이의 활성화에너지는 핵생성 에너지와 성장 에너지로 분리되어질 수 있다. α -Al₂O₃가 종으로 첨가되면 각 α -Al₂O₃종 입자들이 핵으로 작용하게 되어 핵생성을 위한 에너지가 감소하게 되므로 전체의 활성화 에너지가 감소하여 α -상으로의 전이온도가 낮아진 것이라 할 수 있다.

Messing 등의 보고²⁴⁾에 있어서 상업용 boehmite 분말에서 출발한 boehmite 졸-겔에 상업용 α -Al₂O₃ 입자를 파

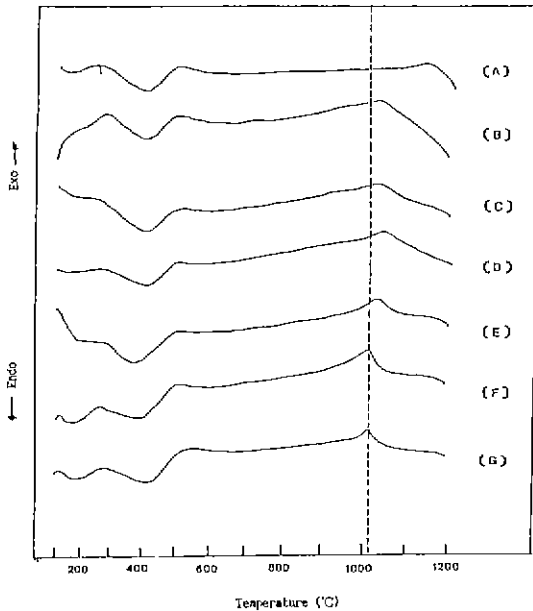


Fig.5. DTA curves of powder as a function of seed content : (A) 0, (B) 0.1, (C) 0.5, (D) 1, (e) 2, (f) 3, (g) 5wt% seeded.

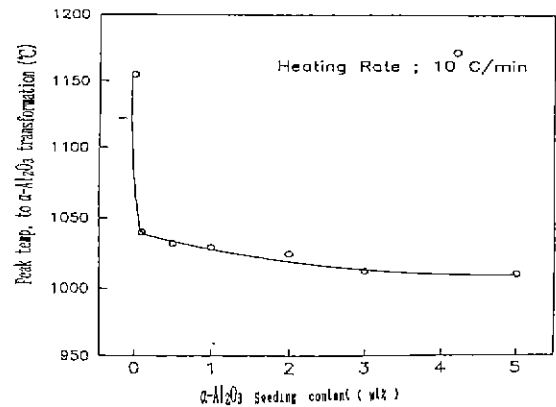


Fig.6. Peak temperature of DTA for θ -to α -alumina transformation as a function of α -alumina seeding contents.

증하였을 경우와 비교해 보면 α - Al_2O_3 종을 첨가하지 않았을 경우에 θ -상에서 α -상으로의 전이온도가 1215°C로부터 1.5wt%와 10wt% α - Al_2O_3 를 파종한 경우에 각각 1075°C, 1050°C로 낮아진 데 비하여, 본 연구에 있어서는 0.1wt% α - Al_2O_3 종 첨가만으로도 전이온도가 1040°C로 급격히 저하하였으며, 또한 3wt%를 첨가한 경우에는 1013°C까지 저하하는 등의 파종 효과가 두드러지게 나타나고 있다. 이상의 결과는 합성방법 및 파종방법의 차이 뿐만 아니라 가수분해시에 α - Al_2O_3 종의 표면효과 즉, α - Al_2O_3 종 입자 표면과 알루미나 가수분해물 사이에서의 어떤 약한 결합이 존재하여 α -상으로의 전이시에 α - Al_2O_3 종의 입자 표면이 핵생성 자리를 제공하였다고 생각된다. 특히 0.1wt%의 파종간으로도 α -상으로의 전이온도가 115°C로 급격히 낮아지고 있으나 그 이상의 α - Al_2O_3 종 첨가량에서는 큰 변화가 보이지 않는데, 이것은 0.1wt%의 파종이 겔 지지체에 가장 균일한 분산과 균질한 충전의 장점을 제공했다고 생각되며, 5wt% 파종의 경우에 전이온도가 저하하지 않고 있는 것은 α - Al_2O_3 종의 농도가 증가하여 그 분산이 덜 이루어져 겔 내에서 응집체가 형성되었기 때문이라 생각된다.

Fig. 7은 α - Al_2O_3 종을 첨가하지 않은 경우와 α - Al_2O_3 종 첨가량에 따른 파종시료에 대하여 각각 900°C에서 100분간 열처리하여 얻은 시료들의 X-선 회절 분석 결과이다. α - Al_2O_3 종을 첨가하지 않은 경우(a)에 α - Al_2O_3 로의 전이가 전혀 일어나지 않았으나, 0.5wt% 파종한 경우(b)에서는 약 12%, 1wt% 파종한 경우에 약 17%, 3wt% 파종했을 때는 약 30%의 전이가 일어났다. Fig. 8에서는 900°C에서 2.5시간 동안 열처리한 경우로서 α - Al_2O_3 종을 첨가하지 않았을 때는 마찬가지로 α -상으로의 전이가 일어나지 않았으나, 1wt% 파종한 경우에 약 25%, 3wt%

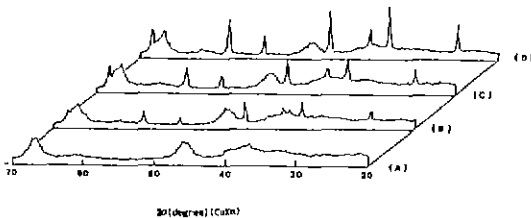


Fig. 7. X-ray diffraction patterns of unseeded and seeded powder, heat treated for 100min at 900°C (A) unseeded, (B) 0.5, (C) 1, (D) 3 wt% seeded

파종한 경우에 약 60%의 전이가 일어났다. Fig. 9는 950°C에서 1시간 동안 열처리한 경우로서 α - Al_2O_3 종을 첨가하지 않았을 경우에 약 20%의 전이가 보이고 있으나, 1wt% 파종한 경우에는 약 85%, 3wt% 파종했을 때는 완전히 α - Al_2O_3 단일상으로 전이가 일어났다. 이상의 X-선 회절분석 결과로부터 가수분해시에 첨가된 α - Al_2O_3 종이 핵생성 자리를 제공하면서 θ -상 지지체에서 핵으로 작용하여 α -상으로의 전이속도가 증가하게 되었으며, 본 연구에서 3wt%의 파종한 경우에 950°C에서 100분간의 열처리로 α - Al_2O_3 단일상을 제조할 수 있었다. 그리고 열처리 온도, 시간 및 α - Al_2O_3 종 첨가량이 증가함에 따라 α -상으로의 전이속도가 빨라져 α -상으로의 전이가 증진되었다.

Fig. 10은 α - Al_2O_3 종을 첨가하지 않은 경우와 α - Al_2O_3 종을 첨가한 경우에 있어서의 FT-IR 측정 결과이다. 950°C에서 1시간 열처리 하였을 때 α - Al_2O_3 종을 첨가하지 않은 경우(a)에는 측정 중에 공기 중의 수분이 약간 흡수

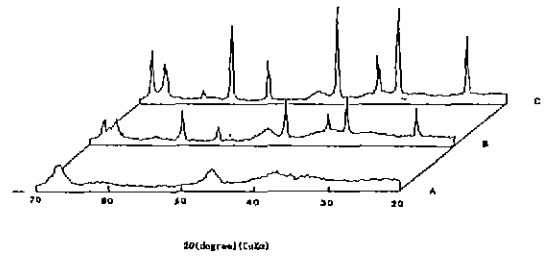


Fig. 8. X-ray diffraction patterns of unseeded and seeded powder, heat treated for 2.5hr at 900°C, (A) 0, (B) 1, (C) 3wt% seeded.

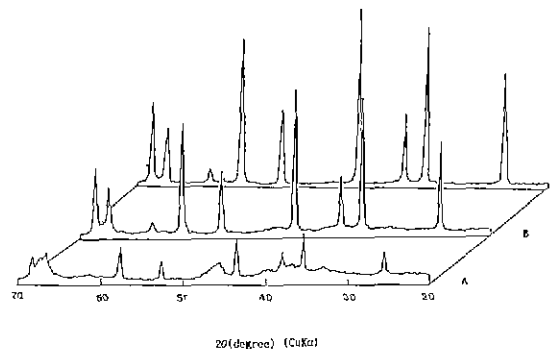


Fig. 9. X-ray diffraction patterns of unseeded and seeded powder, heat treated for 100min at 950°C. ; (A) 0, (B) 1, (C) 3wt seeded.

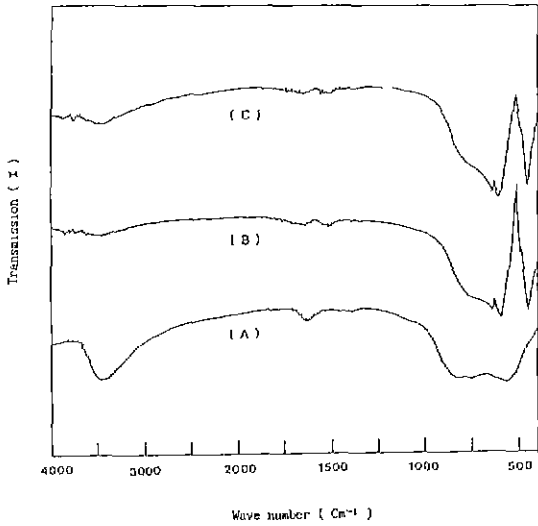


Fig. 10. FT-IR spectra of unseeded and seeded sample heat treated for 1hr, (A) unseeded, 950°C, (B) 3wt% seeded, 950°C, (C) unseeded, 1150°C.

되어 나타나는 3450cm⁻¹의 OH 기의 신축진동과 H-O-H의 굽힘진동에 의한 수분의 특성을 나타내는 피이크가 보이고 있으나, 3wt% α -Al₂O₃종을 첨가한 시료의 경우(b)에는 이러한 수분 흡수에 의한 피이크가 완전히 소멸되었으며, 400cm⁻¹에서 1000cm⁻¹의 파장범위에서 α -Al₂O₃의 Al-O 결합의 특성 피이크가 강하게 나타나고 있다. 이러한 스펙트럼은 α -Al₂O₃종을 첨가하지 않고 1150°C에서 열처리하여 얻은 α -Al₂O₃의 피이크(c)와 잘 일치하고 있다. 이상의 결과로부터 3wt% α -Al₂O₃종을 첨가한 경우에 950°C에서 100분 동안 열처리하여 α -Al₂O₃ 단일상으로 완전히 전이하였다는 X-선 회절분석 결과를 확인해 주고 있다.

3.4. α -Al₂O₃ 파종 합성 분말의 특성

Fig 11은 α -Al₂O₃종을 첨가하지 않은 경우와 α -Al₂O₃종을 첨가하였을 때의 열처리 온도에 따른 비표면적의 변화를 나타낸 것이다. α -Al₂O₃종을 첨가하지 않은 경우(a)에 있어서 700°C, 850°C, 950°C, 1000°C로 열처리 온도가 상승함에 따라 비표면적이 149.1, 110.7, 96.2, 85.8m²/g으로 각각 감소하고 있으며, 1000°C에서도 아직 다공질의 전이 일부나 높은 비표면적을 가지고 있다. 그러나 5wt%의 α -Al₂O₃종을 첨가한 경우(b)에 있어서

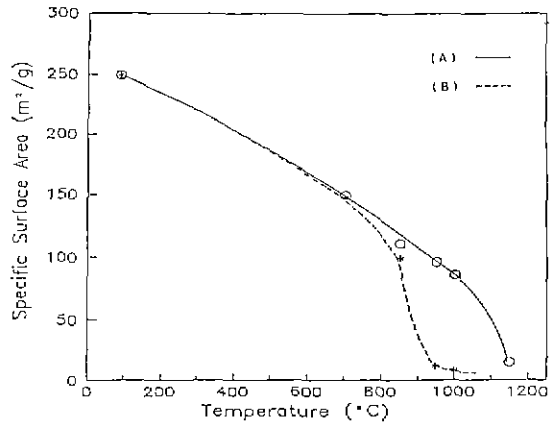


Fig.11 Change of the specific surface area of unseeded and seeded powder with calcination temperature; (A) unseeded, (B) 5wt% seeded.

700°C, 850°C로 온도 상승에서는 α -Al₂O₃종을 첨가하지 않은 경우와 비슷한 경향으로 비표면적이 감소하고 있으나, 950°C, 1000°C로 일차리 온도가 상승함에 따라 비표면적이 각각 119, 8.3m²/g으로 급격히 감소하고 있다. 이러한 현상은 α -Al₂O₃종이 첨가됨에 따라 전이 동력학이 증진되어 vermicular 구조 발달을 방해함으로써 비표면적이 감소된다고 보고된 바 있다.¹⁹⁾ 이때 α -Al₂O₃로의 전이 과정은 α -Al₂O₃종이 첨가됨으로써 전이 활성화 에너지 중 핵생성 에너지가 감소하여 전체 활성화 에너지는 성장 조절이 지배하는 전이과정이 되므로, 입자성장을 동반하게 되어 비표면적을 감소시키고 있다. 특히 α -Al₂O₃종을 첨가하지 않은 경우에 1150°C에서 형성된 α -Al₂O₃의 비표면적 값 15 m²/g 보다도 seed를 첨가한 경우에 1000°C에서 형성된 α -Al₂O₃의 비표면적 값이 8.3m²/g으로 훨씬 적게 나타나고 있다. 이것은 파종에 의해 vermicular 구조 발달이 방해되고, 전이시 입자성장이 동반되어 비표면적이 감소하였다는 문헌¹⁹⁾과도 잘 일치하고 있다.

Fig 12는 α -Al₂O₃ 파종에 따른 시료분말들의 TEM 사진이다. 3wt% α -Al₂O₃종을 첨가한 경우의 상온에서 TEM 사진(a)은 전체적으로 흐릿하게 보이고 있는 boehmite 젤 지지체에 α -Al₂O₃종 입자들이 무질서하게 분포되어 있다. 950°C에서 1시간 동안 열처리 함에 따라 α -Al₂O₃종을 첨가하지 않은 경우 (b)의 분말은 아주 미세한 입자들과 약간의 작은 응집체들로 이루어져 있으나, 3

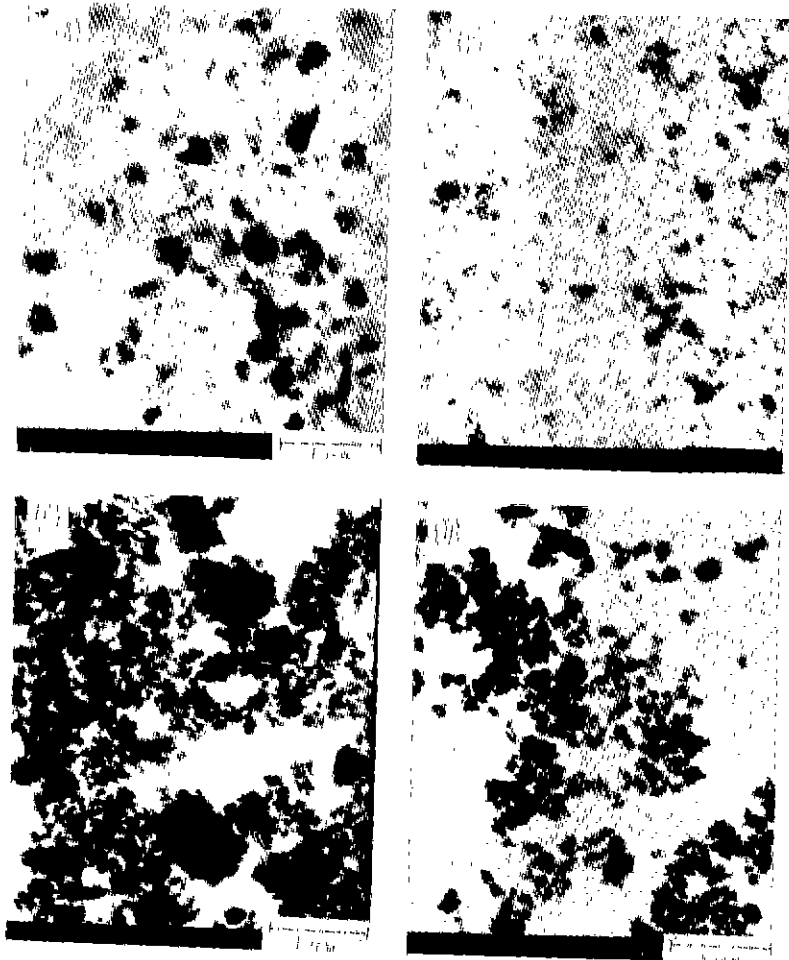


Fig 12. TEM photographs of unseeded and seeded powders, (A) 3wt% seeded at room temperature and heat treated for 1hr, (B) unseeded at 950°C, (C) unseeded at 1150°C.

wt% α -Al₂O₃종을 첨가한 경우(c)에 있어서의 분말들은 상대적으로 큰 응집체들로 이루어져 있다 이러한 현상은 α -Al₂O₃종이 첨가됨으로써 α -Al₂O₃로의 전이 에너지의 핵생성 에너지가 감소하여 성장 과정이 지배하는 전이가 되며, 이때 입자성장이 동반되고 또한 입자들의 자체소결 효과로 인하여 상대적으로 커다란 응집체들로 이루어져 있다 그리고 α -Al₂O₃종을 첨가하지 않고 1150°C에서 1시간 동안 열처리하여 생성된 α -Al₂O₃ (d)와 비교해 보면 3wt% 파종에 의해 950°C에서 생성된 α -Al₂O₃가 더욱 크고 많은 응집체들로 이루어져 있는 것을 볼 수 있는데, 이것은 전이 구동력의 증가로 인한 비표면적의 감소현상과 잘 일치하고 있음을 알 수 있다

4. 결 론

Al-sec-butoxide의 가수분해시에 Yoldas의 방법으로 자체 생성한 미세한 α -Al₂O₃종을 가수분해수에 분산시켜 물과 함께 동시첨가하여 가수분해 하였다. 이렇게 파종하여 합성한 시료들의 전이저동 및 분말특성을 규명하여 다음과 같은 결과를 얻었다.

1) 가수분해시에 α -Al₂O₃종이 증류수와 동시첨가로 겔 기지내에 균일한 분산과 증진이 이루어졌으며 또한 가수분해시 α -Al₂O₃종의 표면이 진이시에 핵생성 자리를 제공함으로써 0.1wt%의 파종만으로도 전이온도가 115°C나 높아져 1040°C에서 전이가 일어났다.

2) α -Al₂O₃ 파종으로 인한 전이의 핵생성 에너지의 감소로 3wt%의 α -Al₂O₃ 종을 첨가한 경우에 950°C에서 100 분간의 열처리로 α -Al₂O₃ 를 제조할 수 있었으며, α -Al₂O₃ 종 첨가량이 증가함에 따라 핵생성 빈도수가 증가하여 α -상으로의 전이가 일시에 일어났다.

3) θ -상에서 α -상으로 전이시 α -Al₂O₃ 종이 첨가됨으로써 vernicular 구조 성장이 억제되고, 이때 입자들의 성장과 자체소결로 인하여 α -Al₂O₃ 종을 첨가하여 1000°C에서 제조한 α -Al₂O₃ 의 비표면적을 파종하지 않은 85.8 m²/g에서 8.3m²/g으로 감소하였다.

[감사의 말씀]

본 연구는 1989년도 문교부 신소재분야 학술연구 조성에 의하여 수행되었으며 이에 감사드립니다.

REFERENCES

1. M.J. Buerger, "Polymorphism and Phase Transformations," *Fortscher Mineral.*, **39** (1) 9-24 (1961).
2. C.N. Rao and K.J. Rao, "Phase Transformation in Solids," in *Progress in Solid State Chem.*, **4**, 67 (1967).
3. P.A. Badkar and J.E. Bailey, "The Mechanism of Simultaneous Sintering and Phase Transformation in Alumina," *J. Mat. Sci.*, **11**, 1794-1806 (1976).
4. M. Kumagai and G.L. Messing, "Enhanced Densification of Boehmite Sol-Gels by α -Al₂O₃ Seeding," *J. Am. Ceram. Soc.*, **67** (11) C-230-C-231 (1984).
5. Y. Wakao and T. Hibino, "Effects of Metallic Oxides on Alpha Transformation of Alumina," *Nagoya Kogyo Gijutsu Shukensho Hokoku*, **11**, 588-595 (1962).
6. G.C. Bye and G.T. Simpkin, "Influence of Cr and Fe on Formation of α -Al₂O₃ from γ -Al₂O₃," *J. Am. Ceram. Soc.*, **57** (8) 367-371 (1974).
7. S.J. Wilson and G.D. McConnell, "A Kinetic Study of the System Gamma AlOOH/Al₂O₃," *J. Solid State Chem.*, **34**, 315-322 (1980).
8. M. Kumagai and G.L. Messing, "Controlled Transformation and Sintering of Boehmite Sol-Gel by α -Al₂O₃ Seeding," *J. Am. Ceram. Soc.*, **68** (9) 500-505 (1985).
9. R.A. Shellelman, G.L. Messing and M. Kumagai, " α -Al₂O₃ Transformation in Seeded Boehmite Gels," *J. Non. Cryst. Solids*, **82**, 277-285 (1986).
10. R.A. Shellelman, G.L. Messing, "Liquid-Phase-Assisted Transformation of Seeded γ -Alumina," *J. Am. Ceram. Soc.*, **71** (5) 317-322 (1988).
11. B.E. Yoldas, "Alumina Sol Preparation from Alkoxides," *Am. Ceram. Soc. Bull.*, **54** (3) 289-290 (1975).
12. B.E. Yoldas, "Alumina Gels that from Porous Transparent Alumina," *J. Mat. Sci.*, **10**, 1856-1860 (1975).
13. B. E. Yoldas, "A Transparent Porous Alumina," *Am. Ceram. Soc. Bull.*, **54** (3) 286-288 (1975).
14. K. Wefers and G.M. Bell, "Oxides and Hydroxides of Aluminum," Tech. Paper No.19, Alcoa (1972).
15. R.K. Iler, "Fibrillar Colloidal Boehmite; Progressive Conversion to Gamma, Theta and Alpha Aluminas," *J. Am. Ceram. Soc.*, **44** (12) 618-624 (1961).
16. S.J. Wilson, "The Deveopment Porous Microstructures during the Dehydration of Boehmite," *Mineral Mag*, **43**, 301-306 (1979).
17. J. Rougueral, "Critical Examination of Several Problems Typically Found in the Kinetic Study of Thermal Decomposition Under Vacuum," *J. Thermal Anal.*, **5**, 203-215 (1973).
18. S.J. Wilson, "Phase Transformations and Deveopment of Microstructure in Boehmite-Derived Transition Aluminas," *Proc. Br. Ceram Soc.*, **28**, 281-294 (1979).
19. S.J. Wilson and M H. Stacey, "The Porosity of Alumium Oxide Phase Derived from Well-Crystallized Boehmite," *J. Colloid Interface Sci.*, **82** (2) 507-517 (1981).

20. H.C. Stumpf, A.S. Russell, J.W. Newsome, and C.M. Tucker, "Thermal Transformations of Aluminas and Alumina Hydrates," *Ind. Eng. Chem*, **42**, 1398-1403 (1950).
21. F.W. Dynys and J.W. Halloran, "Alpha Alumina Formation in Al_2O_3 Gels," in *Ultrastructure Proc. of Ceram., Glass, and Composites*, 145-151 (1984).
22. B.E. Yoldas, "Hydrolysis of Aluminum Alkoxides and Bayerite Conversion," *J. Appl. Chem. Biotechnol.*, **23**, 803-809 (1973).
23. J.Y. Chane Ching and L.C. Klein, "Hydrolysis in the Al-Sec-Butoxide-Water-Isopropyl Alcohol System 66 .I. Rheology and Gels Structures," *J. Am. Ceram. Soc.*, **71** (1) 83-85 (1988).
24. J.Y. Chane Ching and L.C. Klein, "Hydrolysis in the Al-sec-butoxide-Water-Isopropyl Alcohol System ; II, Aging and Microstructure," *ibid.*, **71** (1) 86-90 (1988).
25. F.D. Bloss, *Crystallization and Crystal Chemistry*, Holt, Rinehart and Winston Inc., 335-338 (1971).